

تغییرات سطح آب و چینه‌شناسی توالي‌هادر سازند آب‌تلخ (کامپانین-ماستریشتن) در برش الگو

ابراهیم قاسمی نژاد^{*} و زینب رضایی^۱^۱ دانشکده زمین‌شناسی، پردیس علوم، دانشگاه تهران، تهران، ایران

تاریخ پذیرش: ۱۳۸۸/۰۵/۱۹

تاریخ دریافت: ۱۳۸۷/۱۲/۰۴

چکیده

سازند آب تلخ با سن کامپانین - ماستریشتن یکی از واحدهای سنگ چینه‌ای حوضه رسوی که داغ به شمار می‌رود. تاکنون مطالعه چینه‌نگاری سکانسی به طور دقیق بر روی این سازند صورت نگرفته است به همین دلیل در طی این مطالعه سعی شده است تا با بررسی شواهد فیزیکی، واحدهای سکانسی موجود در این سازند تفکیک شود. برای این منظور پس از انجام بررسی‌های صحرایی ۳۹ تمونه سنگی برداشت و برای بررسی‌های پالینولوژیکی شاخص محیط‌های V: Distal shelf, III: Proximal shelf, II: Marginal basin تفکیک شد. همچنین بر اساس تغییرات سه گروه عمده مواد آلی، پالینوفاسیس و با تلقیق داده‌های به دست آمده، سه سکانس رسوی رده سه با مرزهای سکانسی نوع دوم تعیین شد. فراوانی داینوسیست‌های آب گرم، حضور ریف‌های قارچی و افزایش نسبت داینوسیست‌های پریدینیویید به گونیالاکوئید (P/G) نشانگر شرایط آب و هوایی گرم حاکم بر زمان رسویگذاری سازند آب تلخ هستند.

کلیدواژه‌ها: نوسانات سطح آب، توالي‌های چینه‌شناسی، سازند آب تلخ، شواهد فیزیکی

E-mail: eghasemi@Khayam.ut.ac.ir

* نویسنده مسئول: ابراهیم قاسمی نژاد

۱- مقدمه

به گونیالاکوئید (P/G) نیز به عنوان یکی از عامل‌ها به منظور تعیین درجه حرارت دیرینه محاسبه و مورد استفاده قرار گرفت. از دیگر عامل‌ها مانند ریف‌های قارچی نیز به عنوان شاخص دما، شوری بالا و چینه‌بندی آب (Brinkhuis et al., 1998) به منظور تعیین چگونگی شرایط محیط استفاده شد. نسبت قطعات قاره‌ای به دریایی (CON/MAR)، نسبت سیست‌های کوریت به کاویت، پروکسیمیت، پروکسیموکوریت (C/PPC)، اختلاف در مجموعه و ترکیب گروههای مختلف داینوفلازله (Sluijs et al., 2005) و همچنین نوع و فراوانی در مجموعه داینوفلازله‌ها و نسبت درصد سه گروه اصلی عنصر پالینولوژیکی برای تمامی نمونه‌ها که نمایانگر تغییرات سطح آب است مورد بررسی قرار گرفت.

۲- موقعیت جغرافیایی

برش الگوی سازند آب تلخ پس از گردنۀ مزدوران در کناره راه اصلی مشهد به سرخس قرار دارد. مختصات قاعده سازند در محل برش الگو "۳۳°، ۶۰°، ۱۰°، ۳۳°، ۵۶°، ۱۰°، ۲۶° عرض شمالی است (شکل ۱). طبقات اصلی تول خاوری و شیل‌های خاکستری روشن تا سبز-آبی با میان لایه‌های تشكیل‌دهنده این سازند شیل‌های داینوفلازله روشن تا سبز-آبی با میان لایه‌های آهک است. این سازند با ستبرای ۹۵۰ متر با ناپوستگی هم‌شبیب بر روی سازند شیلی آب دراز قرار می‌گیرد و حد بالایی آن با ماسه‌سنگ ستبر و سخره‌ساز سازند نیزار بر اساس شواهد سنگ‌شناسی و فیزیکی به صورت گذری تدریجی، پیوسته و هم‌شبیب است.

۳- روش آماده‌سازی نمونه

۳۹ نمونه به صورت سیستماتیک از این سازند برداشت و در آزمایشگاه پالینولوژی آماده‌سازی شد. برای مطالعه و شناسایی عنصر پالینولوژیکی، اسلامیدهای تهیه شده توسط میکروسکوب نوری با لنزهای ۱۰، ۴۰، ۲۵ و ۱۰۰ مطالعه شده است و از نمونه‌های مورد نظر با دوربین دیجیتال عکس گرفته شده است، همچنین تمامی اسلامیدهای پالینولوژیکی تهیه شده از برش مورد مطالعه،

سازند آب تلخ یکی از سازندهای کرتاسه بالایی حوضه رسوی که داغ در شمال خاور ایران است. چینه‌نگاری سکانسی در ارتباط دادن زمان و تغییرات نسبی سطح آب دریا، مهاجرت رخساره‌ها را مورد بررسی قرار می‌دهد (Carvalho et al., 2006). امروزه چینه‌نگاری سکانسی به عنوان روشی جدید در بررسی‌های چینه‌شناسی به کار گرفته می‌شود که در که چگونگی رسویگذاری و حفظ شدگی رسویات در حوضه رسوی را بهبود می‌بخشد (Catuneanu, 2002). پارامترهای فیزیکی رسویات سطح آب دریا به کار گرفته می‌شوند. یکی از جدیدترین روش‌ها استفاده از عناصر پالینولوژیکی از جمله پارامترهای درجه تخریب زیستی خرددهای پالینومورف، گردش‌گی فیتوکلاست‌های تازه (Gorin & Steffen, 1990)، مقدار نسبی فیتوکلاست‌ها، مقدار خرددهای تازه و شفاف در بین فیتوکلاست‌ها (نسبت فیتوکلاست‌های کدر (اپک) و نیمه کدر به روشن)، نسبت پالینومورف‌های دریایی به خشکی، مقدار نسبی و تنوع گونه‌ای سیست‌های داینوفلازله، نسبت مورفتایپ‌ها (کوریت/پروکسیمیت، پروکسیموکوریت، کاویت) (Ghasemi-Nejad et al., 1999) به منظور تفکیک واحدهای سکانسی است که در این مطالعه مورد توجه قرار گرفته است.

۴- اهداف و روش‌ها

برای شناسایی و تفکیک سکانس‌های موجود و محیط ابیاض سازند آب تلخ و تعیین شرایط دیرینه بوم شناختی (پالینولوژیکی) این سازند، برش الگوی این سازند مورد مطالعه قرار گرفت. به منظور انجام سکانس استراتیگرافی و تفکیک سکانس‌های رسوی از مجموع عامل‌های پالینولوژیکی و پالینوفاسیس استفاده شد. افزون بر آن، از آن جایی که داینوفلازله‌ها نسبت به تغییرات دمایی حساس هستند و این تغییرات بر فراوانی و تنوع آنها مؤثر است و از طرفی عده‌ای از داینوفلازله‌ها شاخص دماهای خاص هستند، از چگونگی حضور و فراوانی آنها در داخل رسویات به منظور تعیین دمای گذشته استفاده شد. همچنین چگونگی نسبت داینوفلازله‌های پریدینیویید

دریایی (Amorphous)، مواد آلی بی‌شکل (Marine Palynomorph - MP)، مواد آلی بی‌شکل (Phytoclasts - P) و فیتوکلاست‌ها (Organic Matter - AOM) هستند. به طور کلی با توجه به درصد سه گروه مواد آلی و نسبت بین آنها، با رسم داده‌های حاصل بر روی نمودار مثلثی (Tyson, 1993) سه رخساره پالینولوژیکی شاخص محیط‌های V: Distal shelf, III: Proximal shelf, II: Marginal basin شد (شکل‌های ۲ و ۳) و از شواهد فسیلی آنها برای تشخیص و تفکیک سکانس‌ها استفاده شده است. بر پایه بررسی‌های آزمایشگاهی و توجه به پارامترهای یادشده در شناسایی سطوح اصلی سکانسی و سیستم تراکت‌ها سه سکانس رسویی رده سه (با توجه به طول دوره انباش) با مرزهای سکانسی نوع دوم در سازند آب تلخ در برش الگو شناسایی شد (جدول ۱ و شکل ۴). ویژگی‌های هر یک از سکانس‌ها و سیستم تراکت‌های مختلف آنها به شرح زیر است.

۶-۱. سکانس رسویی اول

دو مرز سکانسی (Sequence Boundary) این سکانس از نوع دوم و همراه با پیوستگی رسویی هستند، مرز زیرین با توجه به شواهد سنگ‌شناسی قابل تفکیک بوده و منطبق با مرز سازند آب دراز و سازند آب تلخ است و مرز بالایی که در ۲۸۰ متری از قاعده برش قرار می‌گیرد با توجه به فراوانی فیتوکلاست‌ها، کاهش ناگهانی در فراوانی و تنوع پالینومورف‌های دریایی داینوسیست‌ها و همچنین کاهش نسبت مورفوتابیپ‌های (کوریت/ پروکسیمیت، پروکسیموکوریت، کاویت) و نبود سطح فرسایشی در بررسی‌های صحرایی مشخص شد (شکل ۴). سه سیستم تراکت LST, TST, HST در این واحد سازند آب تلخ قابل تفکیک بوده و محیط رسویی از Distal shelf به Marginal basin تبدیل می‌شود. سیستم تراکت‌ها با توجه به شواهد زیر قابل شناسایی هستند.

Lowstand system tract: محیط رسویی آن میزان pH، AOM, MP روند ثابتی را نشان می‌دهند. در پایین‌ترین حد آن، بیشترین فراوانی فیتوکلاست‌ها وجود دارد که به سمت بالا کاهش می‌یابند. تنوع گونه‌ای و فراوانی داینوفلاژلهای پایین است. میزان نسبت مورفوتابیپ‌های (کوریت/ پروکسیمیت، پروکسیموکوریت، کاویت) نیز پایین است که همگی شرایط LST را نمایان می‌سازند.

Transgressive surface: محیط رسویی آن Distal shelf است، میزان پالینومورف‌های دریایی به سمت بالا رو به افزایش است و از نظر موقعیت چینه‌شناسی بین LST و TST قرار می‌گیرد.

Transgressive system tract: محیط رسویگذاری این واحد Distal shelf است، ماسوالهای کدر با کناره‌های گرد شده افزایش می‌یابد که نشانه‌ای از شرایط آشفته در محیط است. با بالا آمدن تدریجی آب فراوانی فیتوکلاست‌ها کاهش، فراوانی و تنوع پالینومورف‌های دریایی افزایش، نسبت پالینومورف‌های دریایی به خردۀ‌های خشکی به طور ناگهانی افزایش و نسبت C/PPC نیز افزایش می‌یابد.

Maximum flooding surface: محیط رسویگذاری این مرز Distal shelf است. در این حالت بالاترین فراوانی و تنوع پالینومورف‌ها بویژه داینوفلاژلهای دیده می‌شود. افزون‌بر آن فراوانی فیتوکلاست‌ها به کمترین میزان خود می‌رسد و قطعات دریایی نسبت به خردۀ‌های خشکی مقادیر بالایی دارند.

Highstand system tract: محیط رسویگذاری آن Distal shelf است، درصد پالینومورف‌های دریایی و AOM به سمت بالا روندی کاهشی داشته و میزان

در موزه دانشکده زمین‌شناسی دانشگاه تهران نگهداری می‌شوند، نمونه‌ها به روش (2007) Traverse آماده سازی شدند. روش کار به این صورت است که پس از شستشو و خرد کردن نمونه‌ها به منظور از بین بردن ترکیبات کربناتی، ابتدا آنها را به مدت ۲۴ ساعت در ۳۰% HCl و سپس برای حذف ترکیبات سیلیکاتی به مدت ۲۴ ساعت در ۳۰% HF قرار داده شدند. برای جلوگیری از تشکیل ژل سیلیکاتی، نمونه‌ها به مدت ۲۰ دقیقه با ۱۰% HCl جوشانده شدند. برای جدا کردن پالینومورف‌ها از کانی‌های سنگین و سایر مواد زائد (براساس وزن مخصوص آنها) از محلول کلرور روی استفاده شد. پس از عبور نمونه‌ها از الک ۲۰ میکرون، از مواد باقیمانده بر روی الک‌ها اسلامیدهای پالینولوژیکی تهیه گردید. به منظور مطالعه آماری عناصر موجود در اسلامیدهای پالینولوژیکی، ۳۰۰ ذره در هر نمونه شمارش شد در نمونه‌هایی که از نظر محتوای آلی بسیار فقیر بودند چندین اسلامید شمارش شد تا تعداد ذرات به ۳۰۰ ذره برسد و جدول نمودارهای مربوطه رسم شد.

۵- عوامل پالینولوژیکی برای تعیین واحدهای سکانسی

در پایین‌ترین بخش نهشته‌های تراز پایین (LST)، بیشترین فراوانی فیتوکلاست‌ها وجود دارد (Tyson, 1993). به دلیل ورود رسویات از محیط خشکی، فراوانی نسبی پالینومورف‌های دریایی بویژه داینوسیست‌ها در نهشته‌های تراز پایین (LST) کاهش می‌یابد (Carvalho et al., 2006). همچنین نسبت مورفوتابیپ‌های (کوریت/ پروکسیمیت، پروکسیموکوریت، کاویت) کاهش می‌یابد. (Ghasemi-Nejad et al., 1999) در نهشته‌های تراز پایین (LST) معمولاً با رخساره‌های نزدیک مشا همراه است. در زمان پیشروی رخساره‌ها (Transgressive system tract)، بالا آمدن سریع نسبی سطح آب دریا صورت می‌گیرد که به وسیله کاهش رو به بالا میزان فیتوکلاست‌ها تعیین می‌شود. همچنین تنوع گونه‌ای و فراوانی داینوفلاژلهای افزایش می‌یابد، میزان داینوفلاژلهای فراوانی (AOM) متoste را از خود نشان می‌دهد و میزان مواد آلی بی‌شکل (Carvalho et al., 2006) افزوده می‌شود (Carvalho et al., 2006). افزون‌بر آن نسبت مورفوتابیپ‌های (کوریت/ پروکسیمیت، پروکسیموکوریت، کاویت) افزایش می‌یابد. در زمان دسته رخساره‌های تراز بالا (Highstand system tract) ابتدا تنوع و فراوانی پالینومورف‌های دریایی مقادیر بالایی دارند سپس روند کاهشی را طی می‌کنند (روند عکس LST) در واقع فراوانی پالینومورف‌های دریایی در رخساره‌های تراز بالا در حد متoste بوده، فراوانی فیتوکلاست‌ها افزایش یافته به گونه‌ای که در پایین‌ترین سطح آن کمترین میزان فیتوکلاست ثبت می‌شود و کاهش در میزان مواد آلی بی‌شکل (Maximum flooding surface) دیده می‌شود. در بیشترین سطح غرقایی (MFS) دیده می‌شود. داینوفلاژلهای مواد آلی بی‌شکل و مجموع مواد آلی میزان سیست داینوفلاژلهای، مواد آلی بی‌شکل و مجموع مواد آلی (Total Organic Carbon) به بیشترین مقدار کاهش می‌یابند و ژرف‌ترین رخساره آبی (Carvalho et al., 2006) درون سکانس به شمار می‌رود.

۶- بحث

الگوی پراکنده‌گی پالینومورف‌ها و دیگر خردۀ‌های آلی، در تعیین رخساره و بازسازی سکانس‌های رسویی مورد استفاده قرار می‌گیرد (Tyson, 1993). سه گروه عمده مواد آلی موجود در اسلامیدهای پالینولوژیکی شامل پالینومورف‌های

افزایش می‌یابد این شرایط بیانگر رسویگذاری در محیط دور از ساحل است، همچنین کاهش شدید فیتوکلاست‌ها نیز دیده می‌شود.

Highstand system tract: درصد پالینومورف‌های دریایی و AOM به سمت بالا روند کاهشی داشته و میزان فیتوکلاست‌ها به سمت بالا افزایش می‌یابد.

۷- آب و هوای دیرینه

فراوانی داینوسیست‌های آب گرم مانند *Hystrichosphaeridium*, *Andalusarella*, *Paleocystodinium*, *Areoligera*, *Impagidinium* قارچی و افزایش نسبت پریدنبویید به گونیالاکویید (P/G) که "معمولًا" در آب‌های گرم زیاد می‌شود، شرایط آب و هوایی گرم حاکم بزمان رسویگذاری سازند آب تلخ را نشان می‌دهند (شکل ۵).

بررسی‌های پیشین انجام شده بر روی این سازند در همین برش توسط (Notghi-Moghaddam, 1381) با استفاده از استراکودها همچنین (Narimani, 1379) براساس نانوفسیل‌های آهکی، آب و هوای گرم را تأیید کرده است. (Khodadadi, 1382) نیز براساس نانوفسیل‌های آهکی برای بخش بالای سازند، دمایی به نسبت بالا را پیشنهاد می‌کند.

۸- نتیجه‌گیری

به منظور تحلیل نوسانات سطح آب و تفکیک واحدهای سکانسی موجود در سازند آب تلخ اسلامی‌های پالینولوژیکی تهیه و با تعیین نسبت عناصر اصلی مواد آلی سه رخساره پالینولوژیکی شاخص محیط‌های عوامل مختلف پالینولوژیکی مانند، نسبت‌های عناصر اصلی مواد آلی و پالینوفاسیس مربوط به هر نمونه و با تلفیق داده‌های به دست آمده سه سکانس رسویی رده سوم با مرزهای سکانسی نوع دوم تعیین شد همچنین فراوانی داینوسیست‌های آب گرم، حضور ریف‌های قارچی و افزایش نسبت پریدنبویید به گونیالاکویید (P/G) شانگر شرایط آب و هوایی گرم حاکم در زمان رسویگذاری سازند آب تلخ است.

فیتوکلاست‌ها به سمت بالا افزایش می‌یابد به طوری که در نهایت به بیشترین مرز سکانسی می‌رسد.

۶-۲. سکانس رسویی دوم

این سکانس بین دو سطح سکانسی محدود شده است که مرز پایینی منطبق بر مرز بالایی سکانس زیرین است. مرز بالایی آن در ۵۷۰ متری از قاعده سازند واقع است. مرز بالایی این سکانس نیز از نوع دوم است که با توجه به بیشترین فراوانی فیتوکلاست‌ها، کاهش ناگهانی در فراوانی و تنوع پالینومورف‌های دریایی بویژه داینوسیست‌ها، کاهش ناگهانی نسبت مورفتات‌پاپ‌های کوریت/پروکسیمیت، پروکسیموکوریت، کاویت مشخص می‌شود. محیط رسویی از Proximal shelf به Distal shelf تبدیل می‌شود. این سکانس از دو سیستم تراکت TST و HST تشکیل شده است که با توجه به شواهد زیر قابل شناسایی است.

Transgressive system tract: محیط رسویگذاری این واحد Distal shelf است، میزان MP/AOM پایین و ماسمال‌های کدر با کارهای گردشده افزایش می‌یابد که نشانه‌ای از شرایط آشفته در محیط است. با بالا آمدن تدریجی آب، فراوانی فیتوکلاست‌ها کاهش و فراوانی و تنوع پالینومورف‌های دریایی افزایش می‌یابد و نسبت پالینومورف‌های دریایی به خردۀ‌های خشکی به طور ناگهانی افزایش می‌یابد. نسبت مورفتایپ‌های کوریت/پروکسیمیت، پروکسیموکوریت، کاویت نیز افزایش می‌یابد.

Maximum flooding surface: سطح بیشینه غرقابی با افزایش ناگهانی تنوع و فراوانی پالینومورف‌های دریایی و کاهش شدید فیتوکلاست‌ها و فراوانی نسبی بالای AOM بیانگر رسویگذاری در محیط دور از ساحل است (Schioler, 2002) در این مرز ژرف‌ترین رخساره آبی درون سکانس دیده می‌شود.

Highstand system tract: محیط رسویی به سمت بالا از Distal shelf به Proximal shelf تبدیل می‌شود، سلس منحنی فراوانی و تنوع پالینومورف‌ها به تدریج کاهش می‌یابد و AOM به سمت بالا روند کاهشی داشته و میزان فیتوکلاست‌ها روندی افزایشی را نشان می‌دهد، به طوری که در پایین‌ترین سطح کمترین فیتوکلاست‌ها ثبت می‌شود (رونده عکس LST).

۶-۳. سکانس رسویی سوم

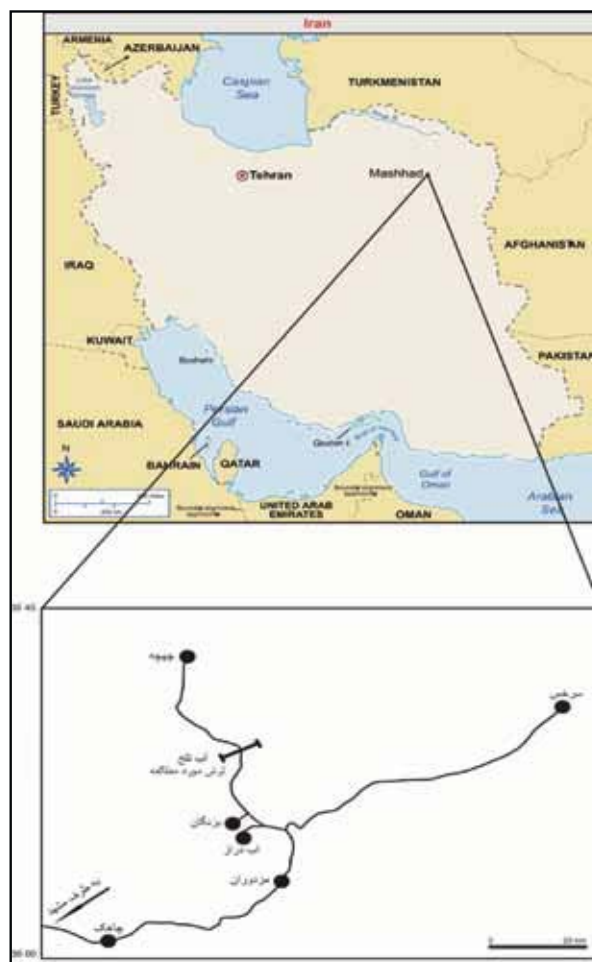
مرز سکانسی پایینی این واحد منطبق بر مرز بالایی سکانس زیرین و مرز بالایی آن در محدوده این مطالعه قرار ندارد. این سکانس از سه سیستم تراکت TST، HST و LST تشکیل شده است که با توجه به شواهد زیر قابل شناسایی هستند.

Lowstand system tract: محیط رسویی آن بوده، Proximal shelf پایین pH, AOM, MP بالا نشان دهنده محیط کم اکسیژن با انرژی متوسط، میزان AOM/MP تقریباً روند ثابتی را نشان می‌دهند در مرز TS میزان پالینومورف‌های دریایی به سمت بالا رو به افزایش است.

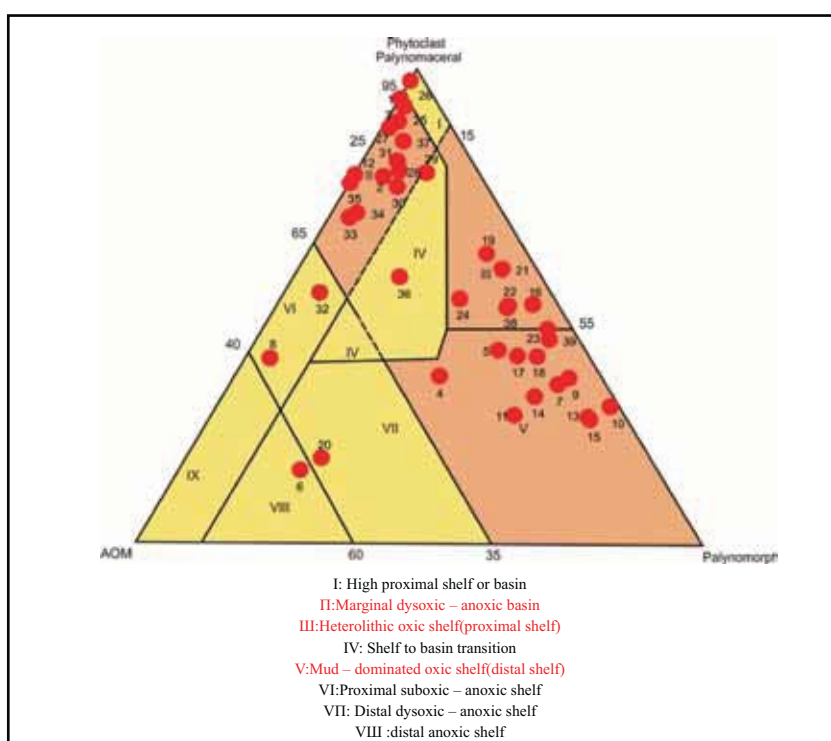
Transgressive surface: محیط رسویی آن Marginal basin بوده، میزان پالینومورف‌های دریایی به سمت بالا رو به افزایش است. از نظر موقعیت چینه‌شناسی بین LST و TST قرار می‌گیرد.

Transgressive system tract: میزان پالینومورف‌های دریایی به سمت Mfs افزایش می‌یابد.

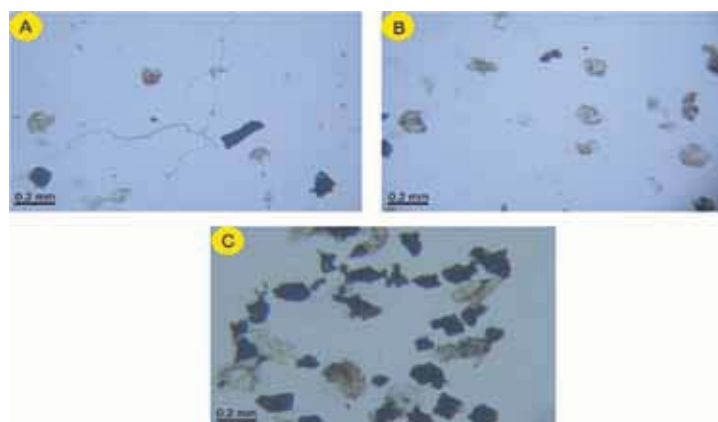
Maximum flooding surface: محیط رسویگذاری آن Distal shelf است، این مرز در محل بیشترین فراوانی پالینومورف‌های دریایی قرار دارد و میزان AOM نیز



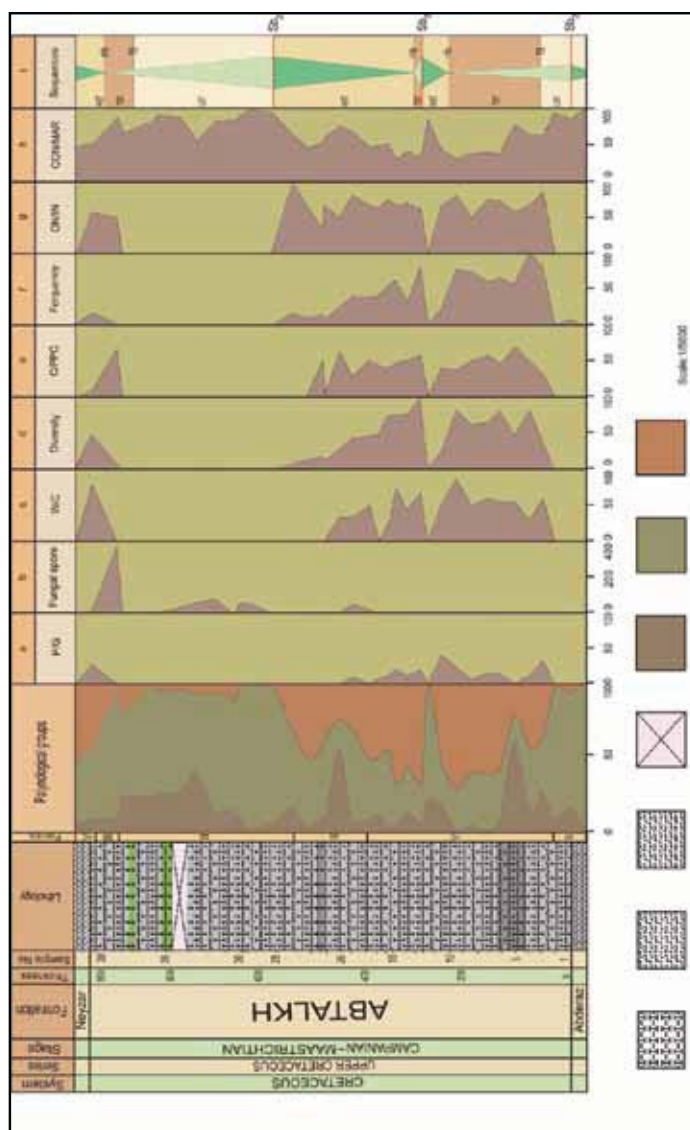
شکل ۱- راه دستیابی به برش مورد بررسی



شکل ۲- نمایش نمونه‌های مورد بررسی بر روی نمودار مثلثی Tyson (1993)



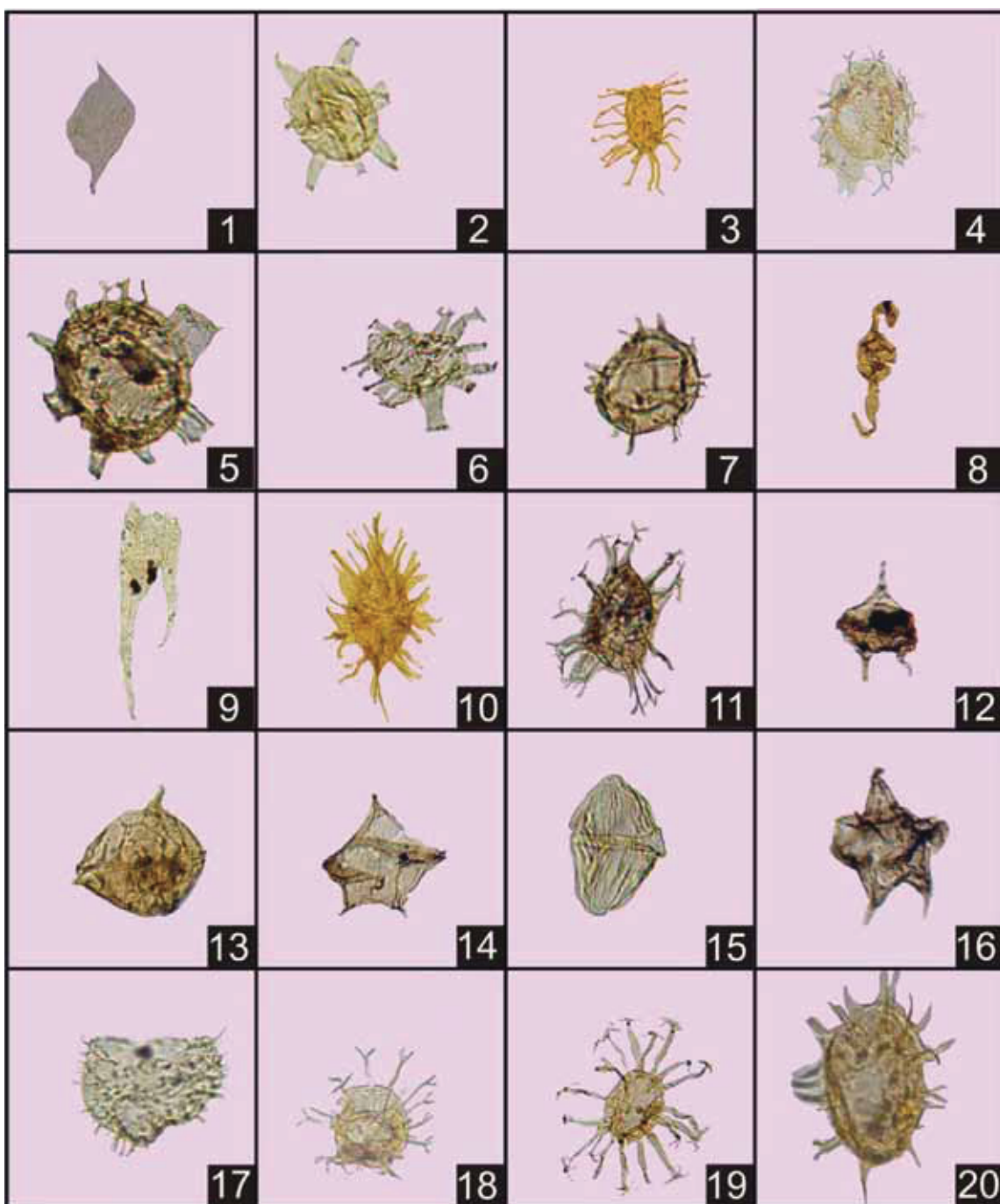
شکل ۳-نمایش انواع پالینوفاسیس های موجود در سازند آب تلخ.(A) پالینوفاسیس نوع III، اسلامد Ab21b; (B) پالینوفاسیس نوع V، اسلامد Ab15c; (C) پالینوفاسیس نوع II، اسلامد Ab2c



شکل ۴-تفکیک سکانس های سازند آب تلخ بر اساس اطلاعات پالینولوژی: P/G: نسبت داینوسیست های پرینوید به گونیالاکوئید، Fungal spore: تغیرات فراوانی در اسپورهای قارچ، W/C: نسبت داینوسیست های آب گرم به داینوسیست های آب سرد، Diversity: تغیرات تنوع در داینوسیست ها، C/PPC: نسبت مورفوتایپ های chorate/Proximate,cavate,Proximochoratae, CON/MAR: نسبت قطعات قاره ای به دریابی، ON/IN: نسبت داینوسیست های نریتیک خارجی به نریتیک داخلی، Ferquency: تغیرات فراوانی در پالینومورف های دریابی، ABTALIK: نام شکاف.

جدول ۱- اطلاعات مربوط به منحنی‌های شکل ۴ که برای بررسی نوسانات سطح آب و محتوای فسیلی و میزان ماده آلبی مورد استفاده قرار گرفته است. مواد آلبی بی‌شکل=AOM، فیتوکلاستها=P، پالینومورف دریابی=MP، نسبت داینوسیست‌های پریدنیوبید به گونیالاکویید=G/P، تغییرات فراوانی در اسپورهای قارچ Fungal spore=Diversity، نسبت داینوسیست‌های آب گرم به داینوسیست‌های آب سرد=W/C، تغییرات تنوع در داینوسیست‌ها=ON/IN، نسبت مورفتایپ‌های C/PPC=(chorate/ proximate,cavate, Proximochorate) تغییرات فراوانی در پالینومورف‌های دریابی=Abundance، نسبت داینوسیست‌های نرتیک خارجی به نرتیک داخلی=ON/IN، نسبت قطعات قاره‌ای به دریابی=CON/MAR.

S.No	AOM%	P%	MP%	P/G	Fungal spore	W/P	Diversity	C/PPC	Abundance	ON/N	CON/MAR
1	6.43	93.57	0	0	0	0	0	0	0	0	97.19
2	17.63	77.17	5.20	0	0	0	0	0	27	0	85.55
3	9.14	88.71	2.15	0	0	0	0	0	0	0	94.48
4	28.63	35.24	36.12	33.33	0	60	12	30	271	85.71	62.33
5	15.44	40.68	43.88	11.76	0	28.57	25	50	337	66.67	64.06
6	63.16	15.58	21.26	0	0	55.56	14	70	190	57.14	78.11
7	8.50	33.43	58.07	14.29	0	54.55	25	45.45	219	72.73	37.11
8	1.01	39.04	59.95	15.38	0	60	20	57.14	199	75	39.80
9	5.85	34.77	59.38	6.25	1	50	19	50	247	50	38.15
10	1.54	28.79	69.67	22.22	0	87.5	25	36.84	259	80	30.33
11	18.93	26.70	54.37	40	8	50	7	40	76	66.67	43.69
12	22.47	77.53	0	0	9	0	0	0	0	0	84.27
13	6.59	26.59	66.82	20	0	66.67	31	57.69	269	61.54	31.59
14	13.88	30.91	55.21	11.76	0	44.44	23	50	104	69.23	41.32
15	6.52	26.06	67.42	21.05	0	75	23	47.37	208	66.67	29.75
16	4.55	50.24	45.22	11.76	0	30	23	38.89	181	75	50.72
17	12.68	39.44	47.89	7.14	0	0	15	42.86	138	62.5	48.83
18	9.25	39.31	51.45	0	14	50	14	50	129	66.67	47.40
19	7.41	60.91	31.69	10	49	33.33	13	27.27	135	80	67.21
20	58.12	18.00	23.87	0	0	33.33	8	62.5	80	50	75.93
21	7.08	57.71	35.21	0	0	0	3	0	24	66.67	60.21
22	9.44	49.56	41.00	0	0	0	5	50	49	33.33	53.10
23	4.50	45.05	50.45	0	0	0	4	0	32	66.67	45.50
24	16.89	51.47	31.64	0	3	0	2	0	53	100	63.54
25	6.50	91.87	1.63	0	0	0	0	0	0	0	94.31
26	2.78	97.22	0	0	53	0	0	0	0	0	98.61
27	11.49	87.36	1.15	0	50	0	0	0	0	0	89.66
28	14.19	78.38	7.43	0	6	0	0	0	0	0	86.49
29	9.56	77.94	12.5	0	0	0	0	0	0	0	81.62
30	16.25	75	8.75	0	1	0	0	0	0	0	84.81
31	13.53	80.45	6.02	0	76	0	0	0	1	0	82.71
32	41.10	52.76	6.13	0	55	0	0	0	0	0	55.83
33	27.97	68.53	3.50	0	27	0	0	0	0	0	87.41
34	26.09	69.57	4.35	0	0	0	0	0	0	0	91.30
35	24.24	75.76	0	0	0	0	0	0	0	0	81.82
36	25.27	56.04	18.68	0	5	0	0	0	0	0	65.93
37	10.35	84.57	5.08	0	376	0	3	66.67	10	50	87.30
38	9.01	50	40.99	27.27	11	80	15	8.33	57	57.14	52.70
39	5.36	42.86	51.79	0	0	0	0	0	2	0	46.43



شکل ۵- نمایش تعدادی از داینوسیستهای شاخص دمایی در منطقه مورد مطالعه:

1-*Palecoystodinium bulliforme* Loannids, 1986. 2- *Hystrichosphaeridium tubiferum* (Ehrenberg, 1838) Deflandre, 1937, emend. Davy & Williams, 1966. 3- *Tanyosphaeridium* sp. 4- *Palynodinium grallator* Gocht 1970a. 5- *Corodspaeridium fibrospinosum* Davey and Williams 1966. 6- *Florentina mantelli* (Davay & Williams in Davey et al. 1966) Davey & Verdier 1973. 7- *Impagidinium* sp. 8- *Andalusiella* sp. 9- *Odontochitina operculata* (O.Wetzel 1993a). 10- *Fibrocysta* sp. 11- *Spiniferites ramosus*, (Ehrenberg, 1838) Mantell, 1850. 12- *Cerodinium diebelii* (Alberti, 1959 b) Lentin & Eisenack, 1958) Davey, 1969. 13- *Cribroperidinium orthoceras*, (Eisenack, 985) Davey, 1969. 14- *Phelodinium magnificum*, Cookson 1956. 15- *Dinogymnum acuminatum*, Evitt et al. 1967. 16- *Lejeunecysta tricuspid* (Wetzel 1933a) Gorkal 1963. 17- *Areoligera senonensis* (O. Wetzel, 1933) Lejeune-Carpentier, 1938a. 18- *Achomosphaera ramulifera*, (Deflandre 1937) Evitt, 1963. 19- *Hystrichosphaeridium bowerbankii*, Davey & Williams 1966. 20- *Operculonidinium* sp.

References

- Brinkhuis, H., Bujak, J. P., Smit, J., Versteegh, G. J. M. & Visscher, H., 1998- Dinoflagellate-based sea surface temperature reconstructions across the Cretaceous -tertiary boundary. *Palaeogeography, Palaeoclimatology & Palaeoecology*, 141:67-83.
- Carvalho, M. A., Mendonca Filho, J. G. & Menezes, T. R., 2006- Palynofacies and Sequence Stratigraphy of the Aptin – Albian of the Sergipe Basin , Brazil. *Sedimentary Geology*. 192 :57–74.
- Catuneanu, O., 2002- Sequence stratigraphy of clastic Systems, *Jurnal of African Earth Science* 35: 1-43.
- Ghasemi-Nejad, E., Sarjent,W. A. S. & Gygi, R., 1999 - Palynology and palaeoenvironment of upper most Bathonian and Oxfordian (Jurassic) of the northern Switzerland sedimentary basin . *Kommision der Schweizerischen Palaontologischen Abhandlungen*, Basel, V. 119, 69 P.
- Gorin, G. E., & steffen, D., 1990- Organic Facies as a tool for recording eustatic Variation in marine Fine-grained Carbonates, example of berriasian stratotype at Berrias (Ardeche, SE France).*Palaeogeography , Palaeoclimatology, Palaeoecology*, 85:303-320.
- Khodadadi, L., 1382- Biostratigraphy and Palaeoecology of the Ab-Talkh Formation based on nannofossils(Mashad-Kalat rood), M.S.c. Thesis,Mashad Ferdosi University.
- Narimani, H., 1379- Biostratigraphy of the Ab-Talkh Formation based on ostracoda in type section,M.S.c. Thesis,Mashad Ferdosi University.
- Notghi-Moghaddam, M., 1381- Biostratigraphy and Palaeoecology of the Upper part of the Ab-Deraz Formation and Upper part of the Ab-Talkh Formation based on nannofossils(Mashad-Kalat rood),M.S.c. Thesis,Mashad Ferdosi University.
- Schioler, P., 2002- Palynofacies and Sea- level changes in the middle Coniacian- Late Campanian (Late Cretaceous) of the East coast Basin, New Zealand. *Palaeogeography, Palaeoclimatology & Palaeoecology* 188: 101-125.
- Sluijs, A., Pross, J. & Brinkhuis, H., 2005-From greenhouse to icehouse, organic –walled dinoflagellate cysts. paleoenvironmental indicators in the pleogene. *Earth Science Reviews*, 68:281-315.
- Traverse, A., 2007- Paleopalynology, Second Edition, Springer. PP.816.
- Tyson, R. V., 1993- Palynofacies analysis. In: Jenkins, D.J. (Ed.), *Applied Micropalaeontology*. Kluwer Academic Publishers, Dordrecht, pp. 153-191.

Water-Level Fluctuations and Sequence Stratigraphy of the Ab-Talkh Formation at Type Section

E. Ghasemi-Nejad^{1*} & Z. Rezaei¹

¹ Faculty of Geology, College of Science, Tehran University , Tehran, Iran

Received: 2009 February 22 Accepted: 2009 August 10

Abstract

The Ab-Talkh Formation (Campanian- Maastrichtian) is one of the lithostratigraphic units of the Kopeh-Dagh sedimentary basin. So far no high resolution sequence stratigraphy has been done on this formation. In this study, we use the fossil evidences to analyse the formation in the sequence stratigraphy framework. For this purpose, after field studies 39 samples were collected and processed for palynology and palynofacies studies. Accordingly three palynofacies(V:Distal shelf , III:Proximal shelf , II:Marginal shelf) determined. Based on changes in percentages of the three major constituents of organic matter, the palynofacies and correlation of all data, three second-order sequences were differentiated. Abundance of warm water dinocysts, presence of fungal spores and the ratio of Peridinoids / Gonyaulacoids indicate dominance of warm climate during depositional course of the Ab-Talkh Formation.

Keywords: Water-Level Fluctuations, Sequence Stratigraphy, Ab-Talkh Formation, Fossil Evidences

For Persian Version see pages 91 to 98

* Corresponding author: E. Ghasemi-nejad; E-mail: eghasemi@Khayam.ut.ac.ir

Active Folding Induced by Recent Movement of Doruneh Fault System

H. R. Javadi^{1*}, M. R. Ghassemi¹, M. Shahpasandzadeh² & M. Estrabi Ashtiani¹

¹ Geological Survey of Iran, Tehran, Iran.

² International Center for Science and High Technology Kerman, Kerman, Iran.

Received: 2009 February 23 Accepted: 2009 August 10

Abstract

Doruneh Fault System (DFS) is located along northern border of Central Iran microplate. Its mechanism is left-lateral strike-slip with reverse dip-slip component. Considering curve geometry of DFS, it is divided into three major parts: eastern, middle and western. Middle part extends from Torbat-e-Heidarieh city in the east to Anabad village in the west. It passes through Quaternary loose alluviums. DFS is composed of different segments in this part. Bend and right-lateral en echelon geometry at surface and left-lateral strike-slip movement of DFS cause local transpression that is observed as young folding. Fold core is composed of Neogene marl, sandstone and siltstone and fold limbs are composed of Pleistocene loose gravelly sediments. Mentioned folds were formed by two different mechanisms: first, Anticlines that formed in right-step bends of DFS and second, pressure ridges that are limited among parallel branches and overlaps of DFS. Estimation of relative uplift rate along mentioned folds indicates that more earthquakes occur in regions with higher uplift rate.

Keywords: Doruneh Fault System, Active folding, Pressure ridge, Uplift rate

For Persian Version see pages 99 to 108

* Corresponding author: H. R. Javadi; E- mail: hr.javadi.k@gmail.com